

# Supplementary Information

## Chemometric Analysis of ESIMS and NMR Data from *Piper* Species

Lydia F. Yamaguchi,<sup>a</sup> Giovana C. Freitas,<sup>a</sup> Nidia C. Yoshida,<sup>a</sup> Renata A. Silva,<sup>a</sup> Anderson M. Gaia,<sup>a</sup>  
Adalberto M. Silva,<sup>a</sup> Marcus T. Scotti,<sup>b</sup> Vicente de P. Emerenciano,<sup>a</sup> Elsie F. Guimarães,<sup>c</sup>  
Eny I. S. Floh,<sup>d</sup> Carlos A. Colombo,<sup>e</sup> Walter J. Siqueira<sup>e</sup> and Massuo J. Kato<sup>\*,a</sup>

<sup>a</sup>Departamento de Química Fundamental, Instituto de Química, Universidade de São Paulo,  
05508-000 São Paulo-SP, Brazil

<sup>b</sup>Centro de Ciências Aplicadas e Educação (Campus IV), Universidade Federal da Paraíba,  
58297-000 Rio Tinto-PB, Brazil

<sup>c</sup>Instituto de Pesquisas Jardim Botânico do Rio de Janeiro, Rua Jardim Botânico, 1008,  
22460-070 Rio de Janeiro-RJ, Brazil

<sup>d</sup>Departamento de Botânica, Instituto de Biociências, Rua do Matão, 277,  
05422-970 São Paulo-SP, Brazil

<sup>e</sup>Centro de Genética Biologia Molecular e Fitoquímica, Instituto Agrônomo de Campinas,  
Av. Barão de Itapura, 1481, 13001-970 Campinas-SP, Brazil

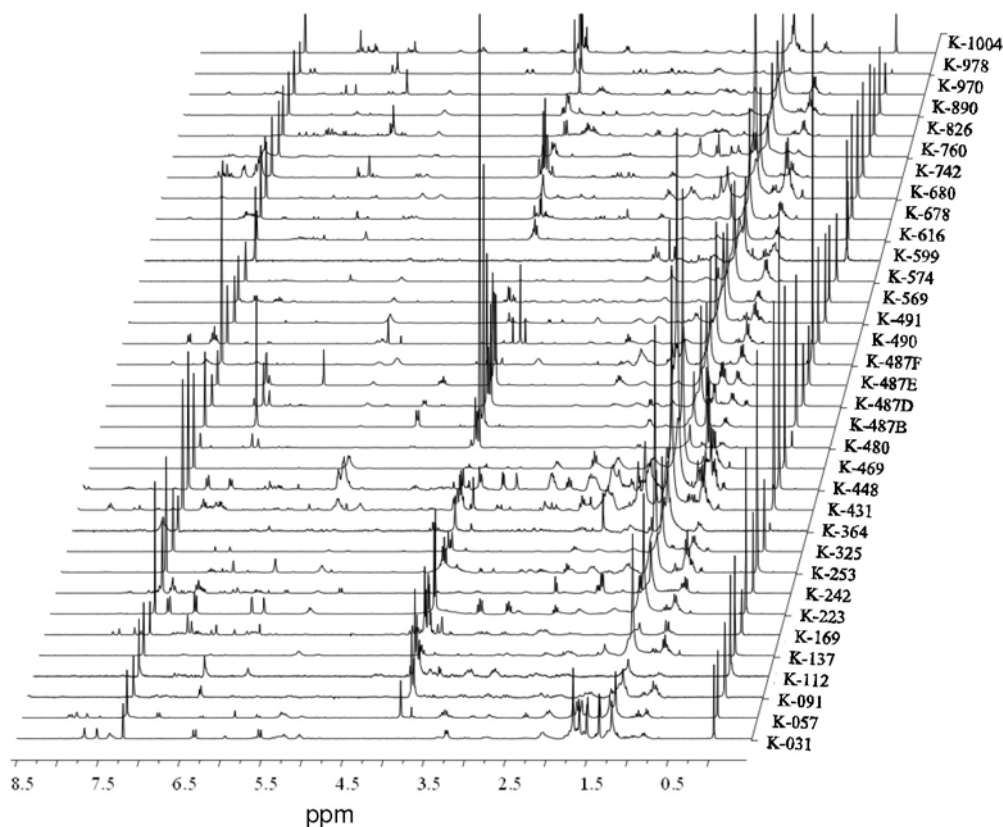
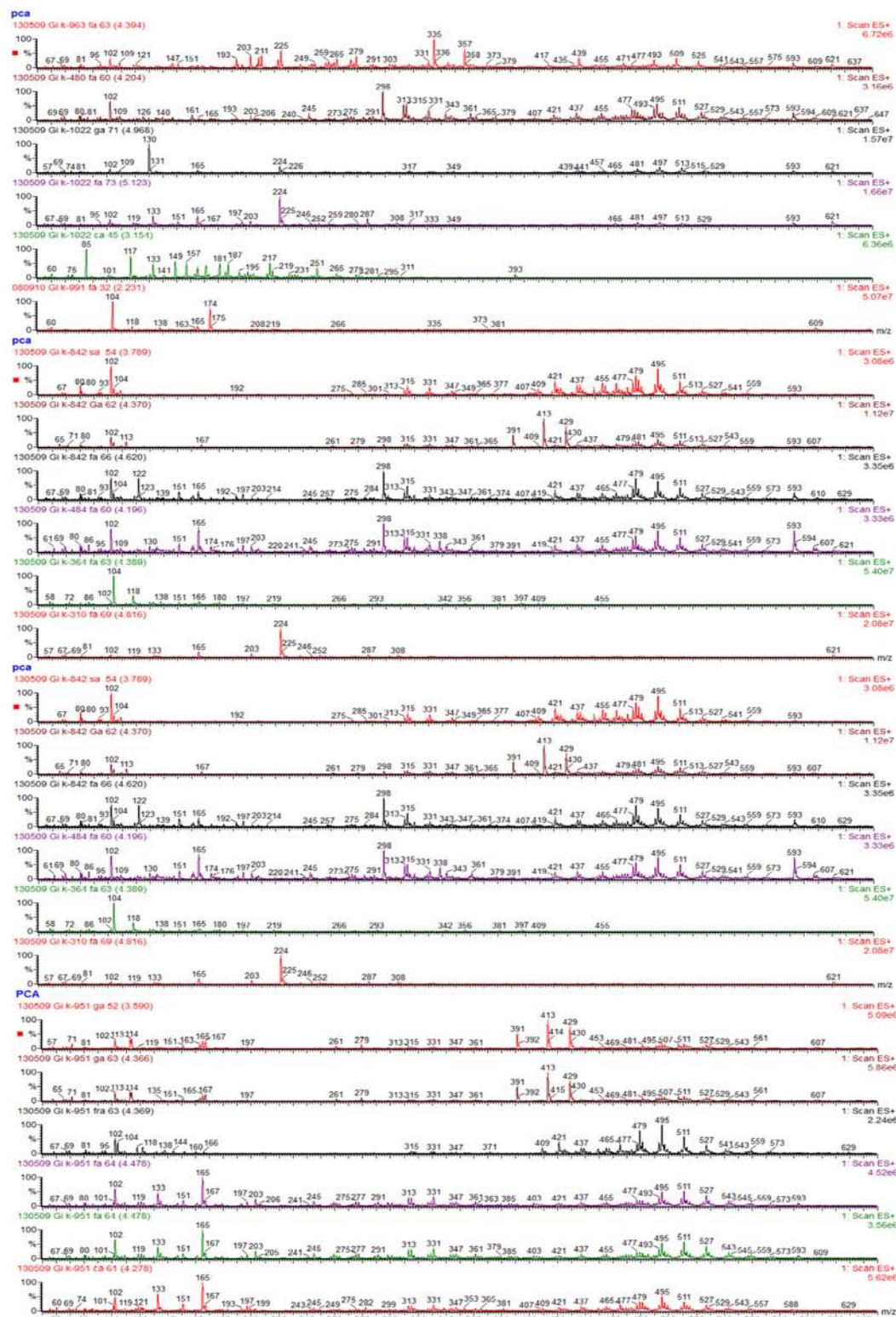


Figure S1. <sup>1</sup>H NMR (300 MHz, CDCl<sub>3</sub>) spectra of crude extracts from *Piper* species.

\*e-mail: majokato@iq.usp.br

Figure S2. ESIMS data of crude extracts from selected *Piper* species.

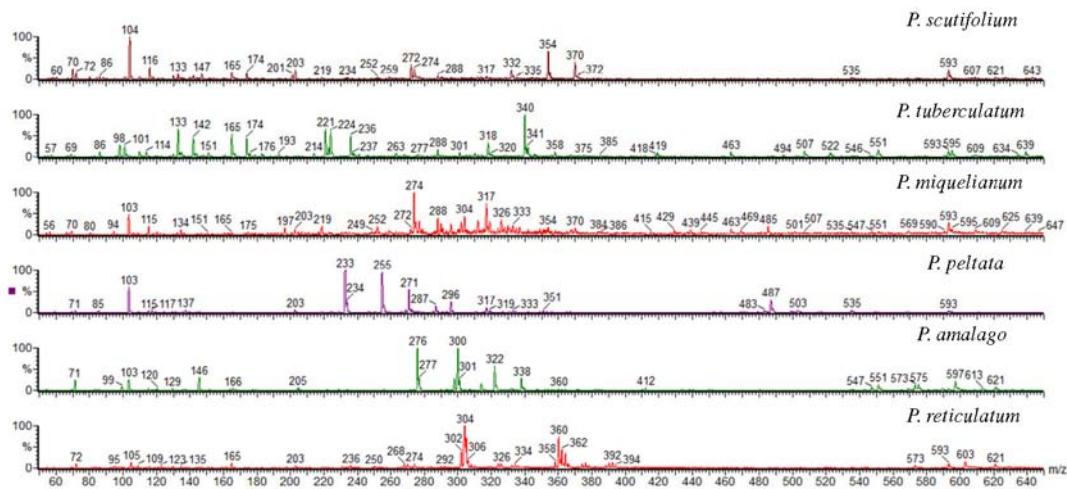


Figure S3. ESIMS spectra of crude extracts from amide-producing *Piper* species.

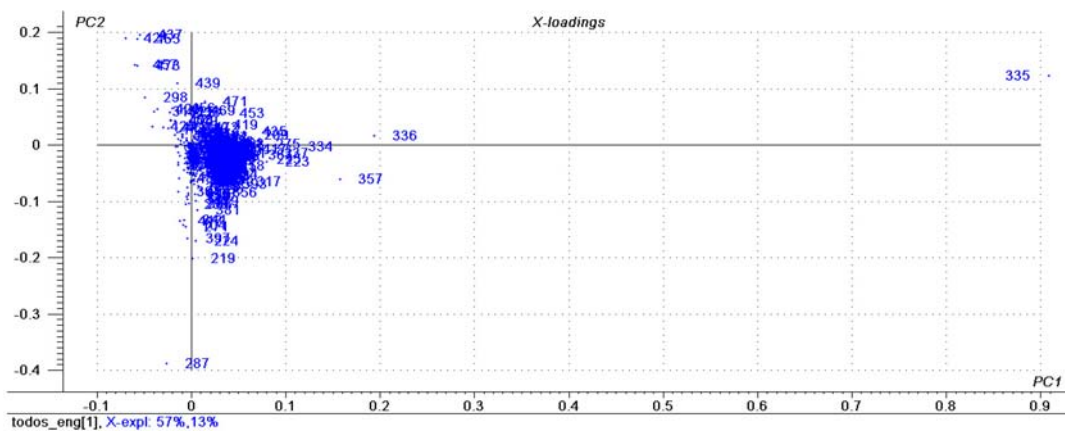


Figure S4. Loading plot of ESIMS of crude extracts from selected *Piper* species with 70% of the variance within the data set.

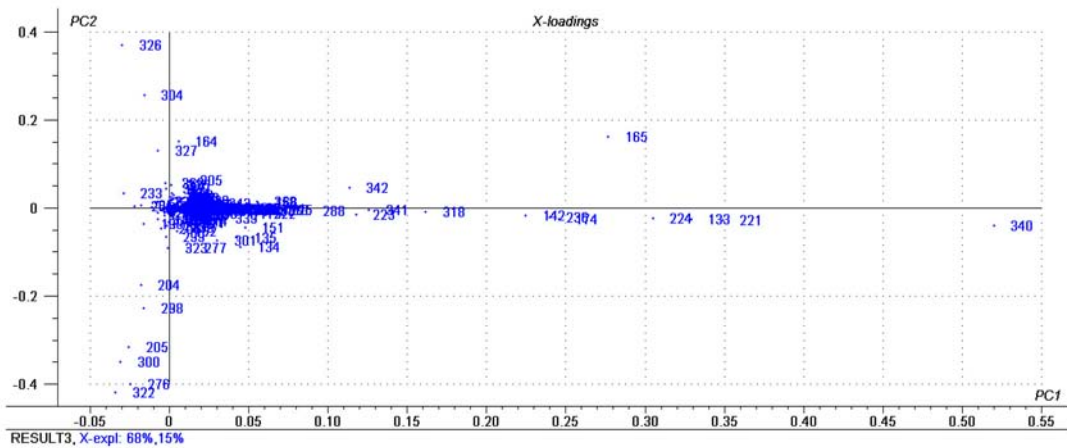


Figure S5. Loading plot of ESIMS of crude extracts from amide-producing *Piper* species.